

اثرات فلز سنگین جیوه بر برخی پاسخ‌های فیزیولوژیکی توتون

ملیحه فرجادی و اکبر نورسته نیا

گروه زیست شناسی، دانشکده علوم، دانشگاه گیلان، رشت، ایران

مسئول مکاتبات: ملیحه فرجادی، malihefarjadi@webmail.guilan.ac.ir

چکیده. بکی از تنش‌های غیرزیستی مهمی که روی گیاهان تأثیر منفی می‌گذارد، تنش فلزات سنگین است. آلوگی خاک با فلزات سنگین با پیشرفت و توسعه صنایع و مصرف کودهای شیمیایی حاوی عناصر سنگین به عنوان یکی از دغدغه‌های زیست محیطی عمده در جوامع بشری تبدیل شده است. جیوه یکی از فلزات سنگین و سمی است که سبب آلودگی زمین‌های زراعی می‌شود. تجمع جیوه در گیاهان، بسیاری از اعمال سلولی را مختل و رشد و نمو را متوقف می‌سازد. در چنین شرایطی سیستم‌های دفاعی آنزیمی و غیرآنزیمی گیاهان فعل می‌شوند. سیستم‌های دفاعی متعددی در فاصل آمدن گیاهان در شرایط تنش زا با یکدیگر همکاری می‌نمایند. هدف این پژوهش بررسی اثر غلطات‌های مختلف جیوه بر محتوای رنگیزه‌های فتوسنترزی و فعالیت سیستم‌های دفاعی غیرآنزیمی در توتون (*Nicotiana tabacum*) است. پس از کاشت گیاهان با شرایط یکسان در بستر هیدروپونیک و تغذیه گیاهان با محلول هوگلند تیمارهای با غلطات‌های متفاوت نیترات جیوه (۰/۵، ۱ و ۳ میلی مولار) همراه با گروه شاهد و همگی در سه تکرار بر روی گیاهچه‌ها اعمال گردید. پس از ۵ روز اعمال تیمار، گیاهان برای انجام آزمایش‌ها برداشت شدند. نتایج نشان داد که توتون در مواجهه با تنش فلز سنگین جیوه به منظور حفظ فشار اسمزی داخلی از تجمع اسмолیت‌هایی مانند پرولین و قندهای محلول کمک می‌گیرد. در صورتی که کاهش محتوای رنگیزه‌های فتوسنترزی و افزایش میزان مالون دی‌آلدهید برگ‌ها نشان‌دهنده افزایش آسیب‌های اکسیداتیو است. افزایش فعالیت آنتی‌اکسیدانی‌های غیرآنزیمی توتون شامل آنتوسیانین، فلی، فلاونول و فلاونوئید در برگ‌ها می‌تواند از سازوکارهای تحمل در برابر تنش فلز سنگین جیوه باشد.

واژه‌های کلیدی. آنتی‌اکسیدان‌های غیر آنزیمی، پرولین، رنگیزه‌های فتوسنترزی، قندهای محلول، مالون دی‌آلدهید

The effects of heavy metal mercury on some physiological responses in *Nicotiana tabacum*

Malihe Farjadi & Akbar Norastehnia

Department of Biology, Faculty of Science, University of Guilan, Rasht, Iran

Correspondent author: Malihe Farjadi, malihefarjadi@webmail.guilan.ac.ir

Abstract. One of the major abiotic stresses that negatively affects plants is the presence of heavy metals. Soil pollution with heavy metals, resulting from the industrial development and use of fertilizers containing heavy metals, has become a major environmental concern in human societies. Mercury is a toxic heavy metal that causes pollution in agricultural lands. Accumulation of Hg by plants may disrupt many cellular functions and block growth and development. Under such conditions, the enzymatic and non-enzymatic defense systems of plants are activated. Several defense systems are cooperating together in plants to cope with stressful situations. In this study, the effect of different concentrations of mercury on the photosynthetic pigments content and non-enzymatic defence systems in *Nicotiana tabacum* was studied. After planting the plants under the same conditions in the hydroponic medium and feeding the plants with Hoagland solution, treatments with different concentrations of mercury nitrate (0.5, 1 and 3 mM and a control group) were applied to the seedlings in three replications. Ten days after the application of the treatments, the plants were harvested and examined. The results showed that tobacco plants which had been exposed to heavy metal used the accumulation of osmolytes such as proline and soluble sugars in order to balance their osmotic pressure. The decrease in the amounts of photosynthetic pigments and increase in the levels of malondialdehyde in the leaves indicated the elevation of oxidative damage. Increased activity of non-enzymatic antioxidants in tobacco leaves, including anthocyanins, phenol, flavonols and flavonoids, can be interpreted as the mechanisms of resistance to heavy metal stress induced by mercury.

Key words. malondialdehyde, nonenzymatic antioxidants, photosynthetic pigments, proline, soluble sugars

مقدمه

به عنوان مثال قند هگزوز در خاموش کردن ژن‌های فتوسنتز نقش دارد (Kocal et al., 2008). در تنش‌های گوناگون، تجمع پرولین در گیاه پاسخی در برابر القا تنفس است و تولید بالای این اسید‌آمینه می‌تواند سبب تحمل گیاه در مقابل تنش شود (Theriappan et al., 2011). در گیاهان عالی، تنش‌های زیستی و غیرزیستی مانند تنش فلزات سنگین سبب سنتز و تجمع متابولیت‌های ثانویه مشابهی می‌شوند که در گیاه نقش دفاعی دارند. گیاهان در طول تکامل برای سازگاری با محیط زیست خود متابولیت‌های ثانویه را تولید کردند، زیرا باید خود را با تغییرات محیط وفق داده و در محیط زیستی که دستخوش تغییر شده است، مخصوصاً در تنش‌های محیطی، توانایی بقا را که یک وظیفه اکولوژیکی ضروری برای آن‌ها به شمار می‌آید، افزایش دهنده (Xiong et al., 2013). تنش فلزات سنگین نیز با توجه به نوع فلز، غلظت فلز در محیط رشد گیاه و زمان اعمال تنش، سبب افزایش (Izbianska et al., 2014; Najafi & Jamei 2014) و یا کاهش (Hawrylak et al., 2007) سنتز متابولیت‌های ثانویه مختلف در گیاهان می‌شود. این تحقیق به بررسی اثر یون فلز سنگین Hg^{+2} بر رنگیزهای، فلاونوئیدهای آنتوسیانین‌ها، ترکیب‌های فنلی، سطوح مالون‌دی‌آلدئید و قندهای محلول پرداخته است. امید است که نتایج به دست آمده در این مقاله بتواند به توصیف نقش آنتی-اکسیدان‌های غیرآنزیمی فلاونوئیدهای آنتوسیانین‌ها و ترکیب‌های فنلی و ارتباط بین آنها در جلوگیری و محدودسازی صدمات ناشی از فلزات سنگین کمک نماید.

مواد و روش‌ها

در این طرح از بذرهای توتون (*Nicotiana tabacum*), رقم کوکر ۳۴۷ تهیه شده از مرکز تحقیقات دخانیات گیلان استفاده شد. این رقم متعلق به توتون‌های برگ درشت تیپ غربی (ویرجینیا) است که از تلاقی بین کوکر ۳۱۹ و کوکر ۲۵۸ حاصل شده و یک رقم تجاری مناسب با شرایط آب و هوایی استان‌های شمال کشور است. دو هفته پس از کاشت بذر توتون در پتری-دیش‌ها، دانه‌های رستهای به دست آمده به محیط کشت هیدروپونیک منتقل و با محلول هوگلن德 تغذیه شدند (در وضعیت ۱۶ ساعت روشنایی، ۸ ساعت تاریکی، ۸۰-۶۰ درصد رطوبت و ۳۰۰۰ لوکس روشنایی) پس از گذشت ۴۰ روز وقتی اندازه گیاهان به حدود ۲۰ سانتی‌متر رسید در مرحله بعد تیمارهایی با غلظت‌های متفاوت صفر (شاهد)، ۱، ۳ و ۵ میلی‌مولار از نمک فلز سنگین نیترات جیوه تهیه شد و تیماردهی گیاهچه‌های توتون به مدت ۱۰ روز اعمال شد.

ترکیب محلول هوگلند مورد استفاده عبارت بود از:

توتون با نام علمی *Nicotiana tabacum* L. از تیره بادنجانیان (Solanaceae)، روزکوتاه، خودگشن و $2n=48$ کروموزومی است. این گونه به همراه توتون شرقی (*Nicotiana rustica* L.) و ایرانی (*Nicotiana persica* L.) در ایران کشت می‌شود. مهمترین قسمت توتون از نظر اقتصادی برگ توتون است. در اثر فعالیت‌های انسانی نظیر استخراج معدن و ذوب فلزات، استفاده از کودهای لجن فاضلاب و قارچ‌کش‌های حاوی جیوه به خاک، ورود سالانه جیوه به زمین‌های زراعی و دیگر اکوسيستم‌ها به شدت در حال افزایش است. فلزات سنگین از آلاینده‌های مهم زیست محیطی به شمار می‌روند که سلامت انسان، حیوانات و محیط زیست را بهطور جدی تهدید می‌کنند (Abioye et al., 2013). گزارش شده است که در سال ۲۰۰۰ میلادی متوسط میزان جیوه در سراسر جهان در زمین‌های زراعی حدود ۳۹ کیلوگرم در هر کیلومترمربع بوده است (Han et al., 2002). جیوه به شکل‌های مختلف نظیر Hg^{2+} -HgS-Mتیل دیده می‌شود. اما در خاک‌های کشاورزی به میزان زیادی به شکل یونی آن یعنی Hg^{+2} وجود دارد. این فلز پس از آزاد شدن در خاک در فاز جامد باقی مانده و جذب سولفیدها، ذرات رس و مواد آلی می‌شود (Han et al., 2006). جیوه فلزی است که در مقادیر زیاد برای گیاه به شدت سمی چندانی بر رشد گیاه ندارد، اما در مقادیر زیاد برای گیاه به شدت سمی بوده و سبب اختلال در فعالیت‌های فیزیولوژیک گیاه می‌گردد. عنصر سمی جیوه می‌تواند به پروتئین‌های کانالی آب متصل شده و سبب بسته شدن کانال‌های آب روزنه‌های موجود در برگ شده که جریان آب را در گیاه متوقف می‌سازد. همچنین گزارش شده است که Hg^{+2} فعالیت میتوکندری‌ها را متوقف می‌سازد (Zhou et al., 2007). یون‌های جیوه سبب تنش اکسیداتیو شده که به دنبال آن گونه‌های اکسیژن واکنشگر مانند رادیکال سوپراکسید O_2^- و رادیکال هیدروکسیل (OH) را در گیاهان تولید می‌کنند. این فرایند سبب آسیب در ساختار لیپیدهای غشایی زیستی شده و متابولیسم سلولی را دچار اختلال می‌کند (Cargnelutti et al., 2006). سلول‌های گیاهی جهت کاهش اثرات منفی انواع اکسیژن فعال تولید شده در سلول از سازوکارهای ویژه‌ای از جمله سیستم‌های آنتی‌اکسیدانی برخوردار هستند. سیستم آنتی‌اکسیدانی شامل عوامل آنزیمی و غیر-آنزیمی است. غلظت بالای فلزهای سنگین باعث ایجاد تنش اکسایشی در گیاه شده که از تاثیر زیان‌بار این تنش در گیاهان تولید رادیکال‌های مختلف اکسیژن واکنشگر است که بهطور معمول با ایجاد آسیب‌های غشایی، فرایندهای یاخته‌ای مختلفی مانند رشد، فتوسنتز و غیره را دچار اختلال می‌کند (Sytar et al., 2013). افزایش کربوهیدرات به عنوان یک پیام متابولیکی عمل می‌کند و موجب افزایش بیان ژن‌های مربوط به دفاع و کاهش فتوسنتز می‌شود.

اندازه‌گیری فنل کل

سنچش مقدار فنل کل با استفاده از معرف Folin-Ciocalteu و استاندارد گالیک اسید انجام گرفت (Gao et al., 2013). و جذب نمونه‌ها در طول موج ۷۶۵ نانومتر خوانده شد و غلظت فنل با استفاده از منحنی استاندارد گالیک اسید محاسبه شد.

اندازه‌گیری آنتوسیانین کل

برای سنجش آنتوسیانین، ۰/۲ گرم از برگ منجمد شده توتون در ۳ میلی لیتر متانول اسیدی (شامل متانول و اسید کلریدریک به نسبت ۹۹ به ۱)، خوب ساییده و سپس عصاره حاصل به مدت ۱۵ دقیقه در ۱۲۰۰۰ (rpm) سانتریفیوژ شد. محلول رویی پس از صاف شدن به مدت یک شب در تاریکی قرار داده شد و جذب آن در طول موج ۵۵۰ نانومتر با دستگاه اسپکتروفوتومتر مدل CamSpec M501 Single Beam UV/Visible Cm-1M⁻¹ برای محاسبه غلظت آنتوسیانین از ضریب خاموشی ۳۳۰۰۰ استفاده شد و نتایج بر حسب میلی گرم بر گرم وزن تر بیان شد (Masukasu et al., 2003).

سنچش فلاونول تام

برای سنجش میزان فلاونول تام در نمونه‌های آماده شده از روش رنگ سنجی با انکسی تغییرات استفاده شد (Venskutonis & Miliauskas, 2004). برای این منظور ۲۵۰ میکرولیتر از هر عصاره استخراج در داخل لوله فالکون ریخته شد. سپس ۱۲۵۰ میکرولیتر آب دیونیزه و ۷۵ میکرولیتر نیتریت سدیم ۵٪ به آن اضافه شد. پس از ۶ دقیقه ورتكس و اضافه کردن ۱۵۰ میکرولیتر کلرید آلومنیوم ۱۰٪، لوله‌ها مجدداً به مدت ۵ دقیقه ورتكس شدند. در نهایت لوله‌ها با اضافه کردن ۲۵۰۰ میکرولیتر سود ۱ مولار و رساندن آن به حجم ۲۵۰ میکرولیتر با آب دیونیزه آماده شدند. بلانک نیز به همین ترتیب با ۲۵۰ میکرولیتر متانول اسیدی (اتانول و اسیداستیک به نسبت ۹۹ به ۱)، خوب ساییده و به مدت ۱۵ دقیقه در ۱۲۰۰۰ (rpm) سانتریفیوژ شد. پس از صفر کردن، محلول رویی به مدت ۱۰ دقیقه در حمام آب گرم با دمای ۸۰ درجه قرار داده شد. میزان جذب نمونه‌ها پس از سرد شدن، توسط اسپکتروفوتومتر در طول موج ۳۳۰ و ۲۷۰ نانومتر خوانده شد. برای محاسبه غلظت

۳ mM KNO₃, 2 mM Ca(NO₃)₂, 1 mM NH₄H₂PO₄, 0.5 mM MgSO₄, 20 μM Fe(Na)-EDTA, 1 μM KCl, 25 μM H₃BO₃, 2 μM MnSO₄, 2 μM ZnSO₄, 0.1 μM CuSO₄ and 0.1 μM (NH₄)₆Mo₇O₂₄ و سپس نمونه برداری انجام گرفت به طوری که از چند گلدان مختلف به طور تصادفی ۶ برگ در فاصله میان گره‌های دوم و سوم به عنوان نمونه‌های تنش دیده جدا و داخل قواره داده شد، نمونه‌ها پس از منجمد شدن داخل ازت مایع به فریزر -۷۰ درجه سانتیگراد منتقل و تا زمان آنالیز نگهداری شدند.

اندازه‌گیری پرولین

مقدار پرولین با استفاده از معرف نین‌هیدرین مورد اندازه‌گیری قرار گرفت (Bates, 1973). در این روش از معرف نین‌هیدرین و اسیداستیک گلاسیال برای اندازه‌گیری پرولین استفاده شد و نتایج بر حسب میلی گرم بر گرم وزن تر گزارش گردید.

سنچش محتوای کلروفیل و کاروتونوئیدها

برای سنجش محتوای کلروفیل و کاروتونوئید ۰/۵ گرم برگ تر از هر تکرار توزین شده و توسط نیتروژن مایع در داخل هاون چینی آسیاب شد و رنگدانه‌های فتوسنتزی استخراج شدند (Lichtenthaler, 1987). شدت جذب محلول به دست آمده در طول موج‌های ۴۷۰، ۶۴۶ و ۶۶۳ با استفاده از دستگاه CamSpec M501 Single Beam UV/Visible در مقابل شاهد قرائت شد. در نهایت برای تعیین مقدار کلروفیل و همچنین کاروتونوئید کل از فرمول‌های زیر استفاده شد.

$$\text{Chl.a} = (12.25 \text{ A663} - 2.79 \text{ A646}) \times V/W$$

$$\text{Chl.b} = (21.50 \text{ A646} - 5.1 \text{ A663}) \times V/W$$

$$\text{Chl.T} = \text{Chl.a} + \text{Chl.b}$$

$$\text{Car} = (1000 \text{ A470} - 1.82 \text{ Chl.a} - 85.02 \text{ Chl.b}) / 198 \times V/W$$

در این روابط V حجم استون به میلی لیتر و W وزن تر برگ بر حسب گرم است. غلظت کلروفیل و کاروتونوئید کل بر حسب میلی گرم بر گرم وزن تر برگ است.

اندازه‌گیری مالون‌دی‌آلدهید

اندازه‌گیری مالون‌دی‌آلدهید با استفاده از روش Heat, 1969 (Packer & MDA+TBA) انجام شد. سپس جذب کمپلکس MDA+TBA در ۵۳۲ nm قرائت شد. جذب بقیه رنگیزه‌های غیراختصاصی در ۶۰۰ nm تعیین شد و از میزان جذب در ۵۳۲ nm کسر گردید. برای محاسبه غلظت MDA از ضریب خاموشی ۱۵۵ امیلی مولار بر سانتی‌متر استفاده شد و در نهایت مقدار مالون‌دی‌آلدهید که محصول واکنش پراکسیداسیون لیپیدها است، بر اساس نانو گرم بر گرم وزن تر محاسبه شد.

شد. مطابق (شکل ۱ A, B, C و D). اثر سطوح مختلف نیترات جیوه بر میزان مالون دی‌آلدهید، آنتوسیانین، فنل کل، فلاونوئیدها به طور معنی‌داری نسبت به نمونه شاهد روند افزایشی داشت به طوری که میزان مالون دی‌آلدهید در غلظت ۳ میلی مولار جیوه بالاترین مقدار را نشان داد و طبق نتایج به دست آمده بالاترین میزان آنتوسیانین و فنل کل و فلاونوئید نیز در غلظت ۳ میلی مولار مشاهده شد مطابق (شکل ۲ A, B, C و D). در ادامه بررسی روند تغییرات در میزان فلاونول، پرولین و میزان قندهای محلول نشان داد که تیمار نمونه‌های تحت تنش جیوه نسبت به نمونه شاهد به طور معنی دار روند افزایشی داشت. مطابق (شکل ۳ A, B, C و D).

مقایسه آماری نتایج نشان داد که میزان ترکیبات فنلی، آنتوسیانین، فلاونول، فلاونوئید در نمونه‌های تیمار شده با غلظت های متفاوت نیترات جیوه افزایش معنی‌داری را نسبت به نمونه‌های شاهد نشان دادند به طوری که با افزایش غلظت نیترات جیوه از ۰/۰ تا ۳ میلی مولار، بالاترین میزان این ترکیبات در نمونه‌های تیمار شده در غلظت ۳ میلی مولار نیترات جیوه مشاهده شد.

بحث

حضور فلزات سنگین در منطقه ریزوسفر و ورود آن‌ها به گیاه باعث کاهش رشد شده و متابولیسم سلولی را بر هم می‌زند. بنابراین بر فرایندهای مهمی مانند انتقال آب، فسفریلاسیون اکسیداتیو میتوکندری، فتوسنتر و مقدار کلروفیل اثر منفی می‌گذارد (Vitoria et al., 2005). اثرات مستقیم فلزات سنگین بر واکنش‌های نوری فتوسنتر شامل تأثیر بر احیا NADP و فسفریلاسیون نوری و اثرات غیرمستقیم آن بر فرایند سنتز و تجزیه کلروفیل، تغییر در نسبت (Chl a, Chl b) و رقابت با سایر فلزات ضروری است (Aggarwal et al., 2011).

یافته‌های برخی پژوهش‌ها نشان می‌دهد که فلزات سنگین می‌توانند در غلظت‌های پائین سبب افزایش میزان (John et al., 2008; Ghorbanli & Kiapour, 2012) و در (John et al., 2009). کاهش میزان کلروفیل کل برگ‌ها در گیاه شوید تحت تیمار کلرید جیوه نشان‌دهنده تنفس اکسیداتیو (Nooranzad et al., 2010). بر اساس نتایج حاصله، افزایش نیترات جیوه در غلظت‌های ۱/۰، ۳ و ۵ میلی‌مولار در محلول غذایی سبب کاهش میزان رنگیزه‌های فتوسنتری شد. نتایج حاصل از مقایسه میانگین داده‌ها کاهش معنی‌دار میزان Chl a و Chl b و کلروفیل کل و میزان کاروتونوئیدها نسبت به نمونه شاهد در غلظت ۰/۵ میلی‌مولار نیترات جیوه از ۰/۰ میلی‌مولار تا غلظت ۳ میلی‌مولار بالاترین میزان رنگیزه‌ها بعد از نمونه شاهد در غلظت ۰/۵ میلی‌مولار نیترات جیوه مشاهده شد و کمترین مقدار رنگیزه‌ها در نمونه تیمار شده با غلظت ۳ میلی‌مولار نیترات جیوه مشاهده

فلاؤنوئید، از ضریب خاموشی $cm^{-1}m^{-1}$ ۳۳۰۰۰ استفاده شد (Krizek et al., 1998).

سنجدش قندهای محلول کل برگ

برای اندازه‌گیری قندهای محلول ابتدا ۵/۰ گرم از نمونه برگ که در فریزر (۷۰- درجه سلسیوس) نگهداری می‌شد را وزن کرده و در هاون کاملاً له شد سپس ۵ میلی‌لیتر اتانول ۹۵٪ به آن اضافه و به لوله آزمایش دربار منتقل گردید و به مدت ۳۰ ثانیه ورتكس شد، سپس به مدت ۵ دقیقه با دور ۳۰۰ سانتریفیوز شد، مایع رویی جدا و به لوله دربار به حجم ۱۵ میلی‌لیتر منتقل گردید، سپس دو مرتبه و هر بار ۵ میلی‌لیتر اتانول ۷۰٪ به بخش جامد باقیمانده اضافه و کاملاً شست و شو شد و مایع رویی جدا و به لوله آزمایش منتقل شده، محلول حاصل در دمای ۴ درجه سلسیوس نگهداری شد. سپس ۱۰۰ میکرولیتر از عصاره الکلی و پس از آن ۳ میلی‌لیتر محلول آنtron به لوله‌های آزمایش اضافه شد (۱۵۰ میلی‌گرم انترون حل شده در ۱۰۰ میلی‌لیتر اسید سولفوریک ۷۲ درصد) آنtron باشد به تعداد نمونه‌ها به صورت تازه تهیه شود. پس از خنک شدن در محیط آزمایشگاه میزان جذب نمونه‌ها در طول موج ۶۲۵ نانومتر با اسپکتروفوتومتر در مقابل شاهد قرائت گردید (Irigoyen et al., 1992).

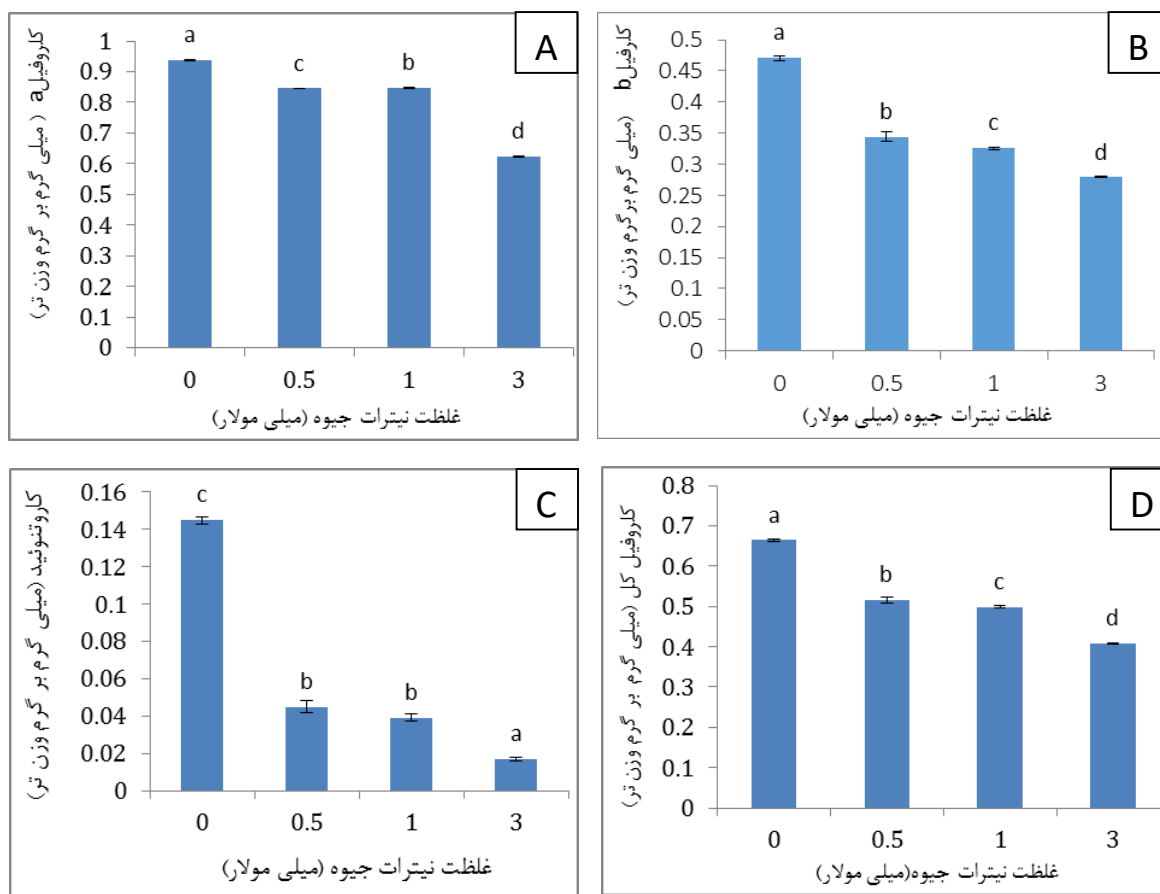
تحلیل آماری

برای بررسی آماری داده‌ها از نرم‌افزار (۱۶.۰) SPSS و برای مقایسه میانگین داده‌ها از آزمون دانکن استفاده شد. انحراف از میانگین داده‌ها به وسیله خطای استاندارد نشان داده شد. جهت رسم نمودارها از نرم افزار Excel 2007 استفاده شده است.

نتایج

براساس نتایج حاصل از اثر تیمار غلظت‌های مختلف نیترات جیوه بر محتوای رنگیزه‌های فتوسنتری، ترکیبات فنلی، مالون دی‌آلدهید، قندهای محلول و پرولین در سطح آماری ۵ درصد معنی‌دار می‌باشد. بر این اساس درادامه بررسی و مقایسه تکیکی به عمل آمده است.

مقایسه آماری نتایج نشان داد که میزان Chl a و Chl b و کلروفیل کل برگ‌ها و میزان کاروتونوئیدها نسبت به نمونه شاهد با افزایش میزان غلظت نیترات جیوه به طور معنی‌داری کاهش یافت. در مورد روند کاهش میزان رنگیزه‌های فتوسنتری به دنبال افزایش غلظت نیترات جیوه از ۰/۰ میلی‌مولار تا غلظت ۳ میلی‌مولار بالاترین میزان رنگیزه‌ها بعد از نمونه شاهد در غلظت ۰/۵ میلی‌مولار نیترات جیوه مشاهده شد و کمترین مقدار رنگیزه‌ها در نمونه تیمار شده با غلظت ۳ میلی‌مولار نیترات جیوه مشاهده

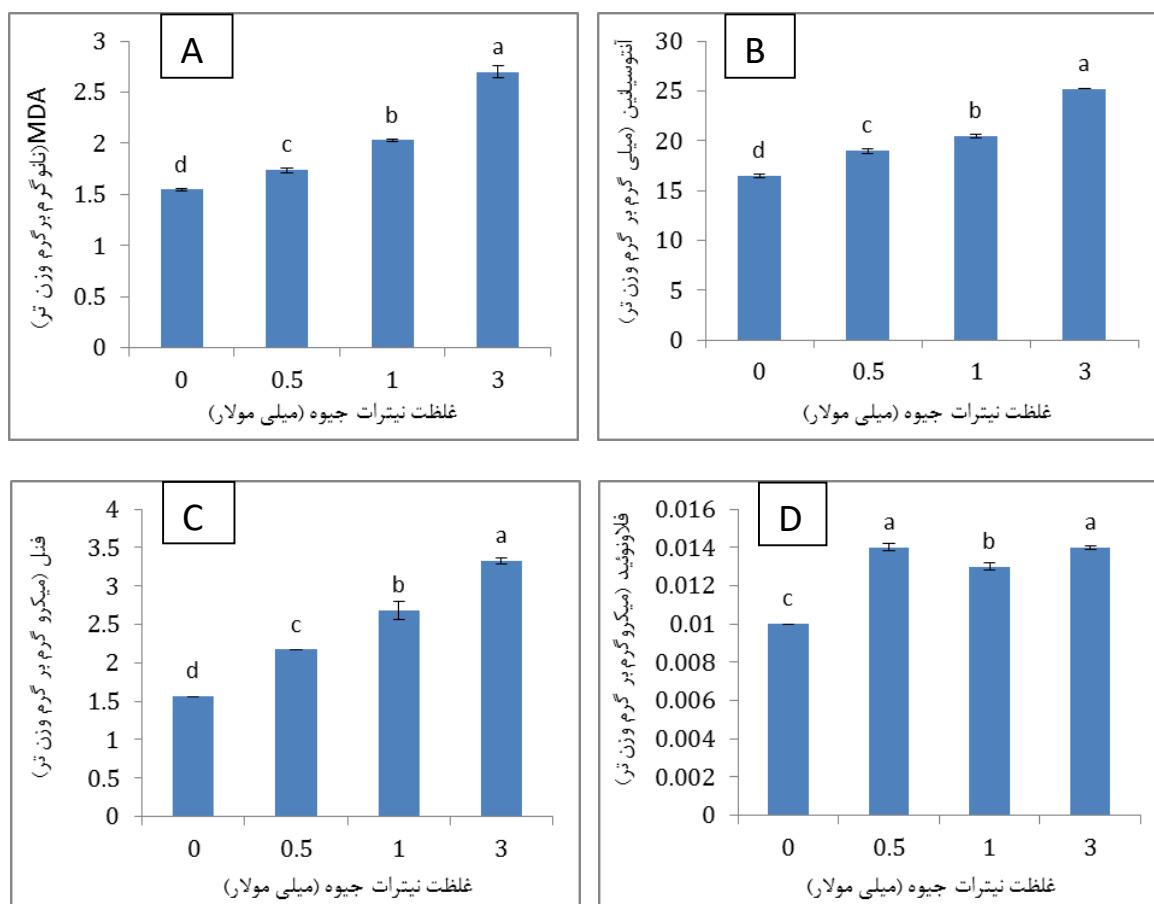


شکل ۱-**A.** میانگین تغییرات مقادیر کلروفیل a. **B.** کلروفیل b. **C.** کاروتونوئید و **D.** مقادیر کلروفیل کل داده‌ها میانگین سه تکرار \pm خطای استاندارد (SE) هستند. حروف متفاوت نشان دهنده اختلاف معنی دار میان تیمارها بر اساس مقایسه میانگین‌ها با آزمون دانکن و حروف مشترک بیانگر فقدان اختلاف معنی دار در سطح احتمال $P<0.05$ است.

Figure 1. A. Average changes in the levels of Chlorophyll a. B. Chlorophyll b. C. Carotenoid and D. Total chlorophyll (D). The data represents the average of three replicates \pm standard error (SE), respectively. Different letters indicate significant differences among treatments according to Duncan's test with $p<0.05$.

توسط فلزات سنگین مربوط داشت (Parasad et al., 2001). فلزات سنگین به وسیله مهار آنزیم‌های گاما – آمینولالونیک‌اسید دهیدروژناز و پروتوكلروفیلدرودکتاز سبب مهار مراحل مختلف بیوسنتر کلروفیل می‌شوند (Khatib et al., 2008). در این پژوهش محتوای Chl b و Chl a تحت غلظت‌های نیترات جیوه کاهش معنی‌داری در مقایسه با گروه شاهد نشان داد. کاهش میزان Chl a و به ویژه Chl b در گیاه ذرت تحت تنش غرقابی نیز گزارش شده بود (Yordanova et al., 2003). به نظر می‌رسد کاهش میزان Chl a و Chl b در این تحقیق احتمالاً به دلیل افزایش کلروفیلز، مهار بیوسنتر پروتوكلروفیل و یا اختلال در جذب یون‌های اساسی مانند منزیم و آهن به دلیل تنش ناشی از تیمار جیوه باشد. جیوه رشد برگ، محتوای رنگیزه‌های فتوسنتری و فعالیت‌های آنزیمی برای جذب CO_2 را کاهش داده و از طریق مهار بیوسنتر کلروفیل، محتوای کلروفیل کل و نسبت Chl a و Chl b را کاهش می‌دهد.

تا ۳ میلی‌مolar روند کاهشی معنی‌دار در میزان رنگیزه‌های فتوسنتری مشاهده شد. این کاهش می‌تواند به دلیل بازدارندگی مراحل مختلف بیوسنتر کلروفیل باشد. اثر ممانعت کنندگی جیوه می‌تواند ناشی از تداخل جیوه با فعالیت تعدادی از آنزیم‌های ضروری برای متابولیسم طبیعی و فرایندهای نموی و همچنین عملکردهای متعدد فتوسنتری باشد. مهار فتوسنتر علامت شناخته شده سمیت جیوه است. در شرایط تنش تخریب مولکول کلروفیل امری بدیهی است (Wojcik et al., 2006). به دنبال تخریب کلروفیل گیاه رنگی به نظر می‌رسد که دلیل آن افزایش و قابل مشاهده شدن رنگیزه‌های محافظ مانند کاروتونوئیدها (کاروتون، گزانوفیل و لیکوپن) و آنتوسيانین‌ها است این کاهش می‌تواند به دلیل بازدارندگی مراحل مختلف بیوسنتر کلروفیل باشد. در این تحقیق کاهش تولید رنگیزه‌های سبز، Chl a و Chl b می‌تواند کاهش افزايش میزان تنش اکسیداتیو است. کاهش میزان کلروفیل را می‌توان به پراکسیداسیون غشاء کلروپلاست‌ها

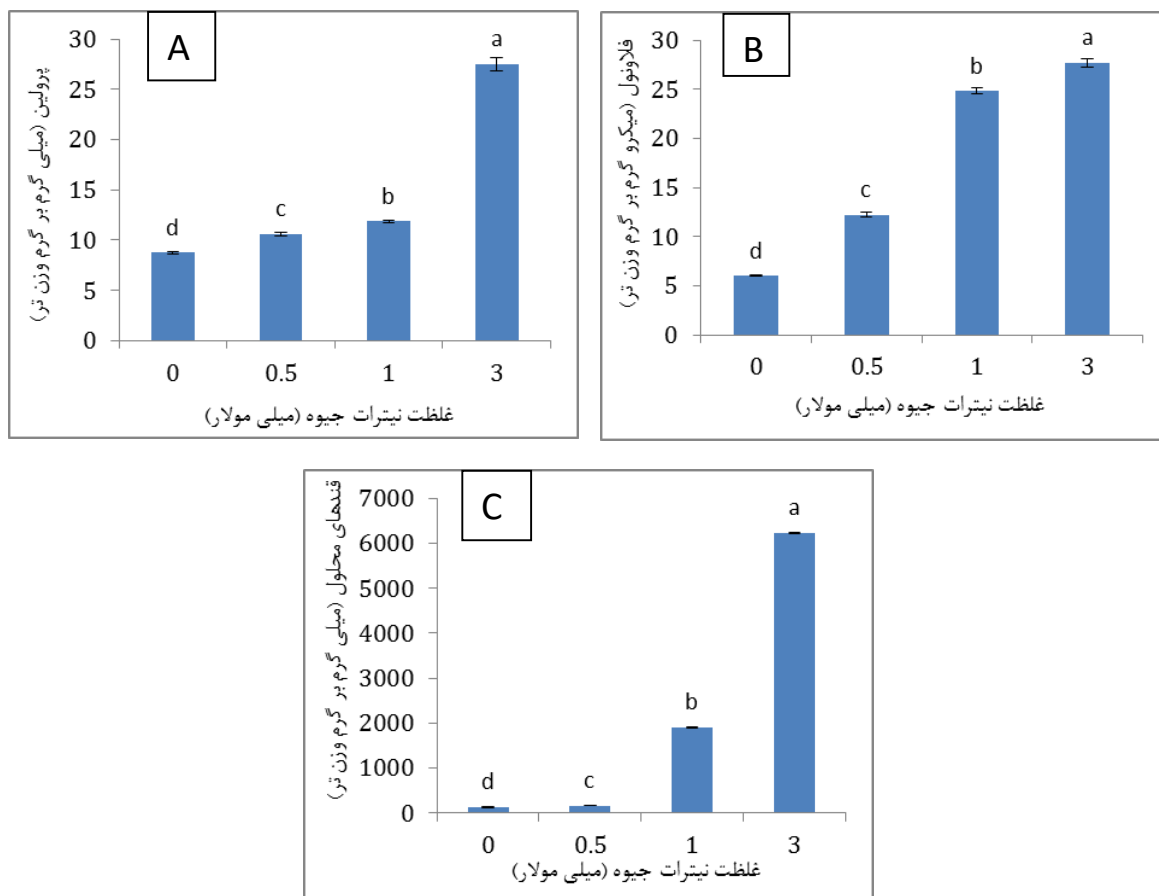


شکل ۲-۲ میانگین تغییرات مقادیر مالون دی آلدید. **A.** مقدار فنل کل و **B.** آنتوسباینین. **C.** مقدادر فنل کل و **D.** مقدار فلاؤنونید. داده های میانگین سه تکرار \pm خطای استاندارد (SE) هستند. حروف متفاوت نشان دهنده اختلاف معنی دار میان تیمارها بر اساس مقایسه میانگین ها با آزمون دانکن و حروف مشترک بیانگر فقدان اختلاف معنی دار در سطح احتمال $P<0.05$ است.

Figure 2. A. Average changes in the amount of malondialdehyde **B.** Anthocyanin. **C.** Total phenol and **D.** Flavonoid. The data represents the average of three replicates \pm standard error (SE), respectively. Different letters indicate significant differences among treatments according to Duncan's test with $p<0.05$.

مالون دی آلدید فراورده نهایی اکسیداسیون چربی غشای سلول است که به عنوان شاخصی از میزان آسیب واردہ به گیاه تحت شرایط تنفس است. بنابراین مالون دی آلدید به عنوان یک معرف برای بررسی صدمات غشا در شرایط تنفس مورد استفاده قرار می گیرد و شاخص مناسبی برای پراکسیداسیون لیپیدهای غشا محسوب می شود (Jaleel et al., 2007; Katsuhara et al., 2004; Sofo et al., 2005; Lawlor & Cornic, 2002). نتایج نشان داد که میزان مالون دی آلدید در نمونه های تحت تنفس نیترات جیوه به طور معنی داری نسبت به نمونه شاهد افزایش یافته است، به طوری که میزان مالون دی آلدید در غلظت ۳ میلی مولار نیترات جیوه نسبت به بقیه غلظتها بیشترین میزان را نشان داد. در برگ های یونجه تحت تیمار جیوه نیز نشان داده شده است که سمیت جیوه سبب آسیب های اکسیداتیو به لیپیدهای غشا پلاسمایی شده و

کاروتونوئیدها شامل β -کاروتون و گرانتوفیل ها، آنتی اکسیدان های آب گریز با وزن مولکولی کم در کلروپلاست هستند که غشاهای کلروپلاستی را در مقابل تنفس اکسیداتیو محافظت می کنند و نقش های مهم دیگری چون محافظت از غشاهای تیلاکوئیدی و جلوگیری از فتو اکسیداسیون نوری کلروفیل ها را نیز عهده دار هستند (Lawlor & Cornic, 2002). در این پژوهش نیز اثر جیوه بر توتون باعث کاهش معنی دار در مقادیر رنگیزه های فتو سنتزی و کاروتونوئیدها نسبت به گیاهان شاهد شد به طوری که کمترین میزان کاروتونوئید در غلظت ۳ میلی مولار جیوه مشاهده شد. یافته های این پژوهش با یافته های دیگر همسو است. یکی از علایم پراکسیده شدن لیپیدهای غشایی تشکیل مالون دی آلدید (MDA). است که از فراورده های حاصل از تجزیه اسیدهای چرب (Molassiotis et al., 2005).



شکل ۳- A. میانگین تغییرات مقادیر فلاونول. B. پرولین و C. قندهای محلول. داده‌ها میانگین سه تکرار \pm خطای استاندارد (SE) هستند. حروف متفاوت نشان دهنده اختلاف معنی‌دار میان تیمارها بر اساس مقایسه میانگین‌ها با آزمون دانکن و حروف مشترک بیانگر فقدان اختلاف معنی‌دار در سطح احتمال $P<0.05$ است.

Figure 3. A. Average changes in the amounts of soluble sugars. **B.** Prolin and **C.** Soluble sugars. The data represents the average of three replicates \pm standard error (SE), respectively. Different letters indicate significant differences among treatments according to Duncan's test with $p<0.05$.

میزان ترکیبات فلزی، آنتوسیانین‌ها، فلاونوئیدها و فلاونول‌ها، اجزاء تشکیل‌دهنده سیستم دفاعی غیرآنزیمی، دیده شد که روند افزایشی در غلظت ۳ میلی‌مولار جیوه بالاترین مقدار را نشان داد. این ترکیب‌ها با رادیکال‌های آزاد واکنش داده و با دادن الکترون به این رادیکال‌های واکنش پذیر آنها را به فرم پایدار خود تبدیل می‌کنند (Asada, 1984). فلاونوئیدها و آنتوسیانین‌ها از مهمترین ترکیب‌های آنتی‌اکسیدانی هستند. از میان سیستم‌های دفاعی غیرآنزیمی، ترکیب‌های فلزی و به‌خصوص آنتوسیانین‌ها در گیاهانی که در معرض غلظت‌های زیاد فلزات سنگین هستند، بسیار فعال بوده و باعث حفظ گیاه در مقابل سمیت می‌شوند (Posmyk et al., 2005; Dai et al., 2006).

در پژوهش حاضر میزان آنتوسیانین‌ها در غلظت‌های مختلف جیوه نسبت به افزایش میزان تیوباربیتوريک اسید (TBARS) در برگ‌ها این موضوع را تایید می‌کند (Zhao et al., 2008). میزان مالون دی‌آلدهید تحت اثر فلز سنگین جیوه در گیاه توتون افزایش یافت. قبل از این در مطالعات انجام شده در گیاه شوید تحت تاثیر تیمار کلرید جیوه افزایش محتوای مالون دی‌آلدهید گزارش شده بود (Nooraniazad et al., 2010). افزایش محتوای مالون دی‌آلدهید به دلیل افزایش غلظت پراکسیدهیدروژن در محیط ناشی از تنفس ایجاد شده است که نهایتاً موجب آسیب به غشای سلول می‌شود (Ali et al., 2015). تولید این ماده نشان‌دهنده پراکسیداسیون لیپیدهای غشا است و تنفس اکسیداتیو ناشی از فلز سمی جیوه را در گیاه مورد مطالعه تایید می‌کند. با قرارگیری توتون در مقابل غلظت‌های رو به افزایش جیوه، افزایشی در

آوری یا حذف پراکسیدهیدروژن، نقش آنتی‌اکسیدانی خود را ایفا می‌کنند (Chu et al., 2000; Kovacik et al., 2009). در این پژوهش میزان فلاؤنوئید در نمونه‌های تحت تنش فلز جیوه نسبت به نمونه شاهد افزایش یافت. افزایش میزان فلاؤنوئید تحت تنش فلزات سنگین قبل از تنش در مطالعه بر روی گیاه خرفه تحت تنش فلز سنگین مس گزارش شده است (Ghorbanli et al., 2012). و همچنین افزایش میزان فلاؤنوئید در نعناع تحت تنش فلز سنگین روی گزارش شده است (Zare Dehabadi et al., 2009). در تنش‌های اکسیداتیو، ترکیبات فنولی به ویژه فلاؤنوئیدها می‌توانند با فسفولیپیدهای غشا از طریق پیوند هیدروژنی با سرهای قطبی فسفولیپیدها ارتباط برقرار کنند، در نتیجه این ترکیبات در سطح داخل و خارج غشا جمع شده و به دلیل جلوگیری از دستیابی مولکول‌های آسیب‌رسان به ناحیه هیدروفوبی دوقطبی به حفظ سیالیت و تمامیت غشا کمک می‌کنند (Michalak et al., 2006). این ترکیبات می‌توانند با القای مسیرهای علامترسانی باعث فعال شدن واکنش‌های دفاعی در گیاه شده و در نتیجه باعث افزایش تولید متابولیت‌های ثانویه گردند (Zhao et al., 2005). تولید فلاؤنوئید محدود به بافت‌های خاص است و در مراحل خاصی از تکامل گیاه انجام می‌شود (Jakola et al., 2002; Sudhakar et al., 2001).

فلاؤنول‌ها مهمترین نوع از انواع فلاؤنوئیدها هستند (Winkel Shirley, 2002). فلاؤنول‌ها به عنوان رنگیزه همراه با آنتوسبیانین‌ها در گل‌ها و میوه‌ها دارای نقش حفاظتی در مقابل اشعه فرابنفش هستند (Jaakola et al., 2002). فلاؤنول‌ها در هر دو فاز آبی و چربی سلول‌های گیاهی وجود دارند. ثابت شده است که فلاؤنول‌های موجود در واکوئول‌ها می‌توانند در سیستم پاک‌سازی فلاؤنول‌پراکسیدهیدروژن را جارو نمایند (Yamasaki, 1997). نتایج حاصل از تاثیر نیترات‌جیوه بر میزان فلاؤنول توتون نشان داد که میزان فلاؤنول نیز در نمونه‌های تیمار شده نسبت به نمونه شاهد به‌طور معنی‌داری افزایش یافت به‌طوری که با افزایش غلظت جیوه افزایش مقادیر فلاؤنول مشاهده شد.

همچنین در هنگام تنش با محدود شدن انتقال الکترون در زنجیره فتوستترزی، افزایش مقادیر فلاؤنول باعث فعال شدن یک مسیر متابولیکی حد واسط توسط آنزیم فنیل‌آلانین‌امونیالیاز و آنزیم‌های دیگر می‌شود که سبب تجمع فلاؤنول‌ها و مشتقان آن در واکوئول می‌شود. تجمع فلاؤنول‌ها در هنگام تنش ممکن است تا حدی به تغییرات مورفوژنیکی و تغییرات متابولیکی برگ نسبت داده شود که سبب جلوگیری از آسیب اکسیداتیو در برگ‌ها می‌شود (Hernandez et al., 2004). افزایش میزان

نمونه شاهد به طور معنی‌داری افزایش نشان داد به‌طوری که بالاترین میزان آنتوسبیانین در نمونه تیمار شده در غلظت ۳ میلی‌مولار جیوه مشاهده شد. که این نتایج با نتایج بدست آمده از اثر مس بر خرفه (Ghorbanli et al., 2012) و اثر متگنز بر زیره مطابقت داشت (Fahmideh et al., 2017). افزایش آنتوسبیانین به‌علت نقش حفاظت نوری آنتوسبیانین به‌وسیله حذف مستقیم ROS‌ها در طول تنش اکسیداتیو می‌باشد (Zhang et al., 2010). نقش آنتوسبیانین در سمیت‌زدایی فلزات سنگین از طریق تشکیل کمپلکس‌های فلز-آنتوسبیانین است. مطالعات نشان می‌دهد که رابطه مثبتی بین محتوای فنول کل و فعالیت آنتی-اکسیدانی آن‌ها وجود دارد (Ghasemzadeh et al., 2010). در سلول‌های گیاهی ترکیبات فنولی به‌ویژه پلی‌فنول‌ها در کاهش سمزدایی پراکسیدهیدروژن بسیار کارا عمل کرده و به عنوان سیستم پشتیبان چرخه آسکوربات- گلوتاتیون در دفع رادیکال‌های پراکسیدهیدروژن شرکت می‌کنند. وقتی فنول‌ها به عنوان آنتی‌اکسیدان در این واکنش‌ها شرکت می‌کنند، به رادیکال فنوکسیل اکسید می‌شوند. رادیکال‌های فنوکسیل از طریق واکنش با آسکوربات به حالت اولیه برمی‌گردند (Sakihama et al., 2002). در این مطالعه، افزایش ترکیبات فنولی با گذشت زمان بیانگر راهبرد سلول‌ها برای مقابله با تنش اکسیداتیو است. همچنین ذکر شده که ترکیب‌های فنلی و آنتوسبیانین‌ها عمدتاً گزینه‌ای اصلی جهت مقابله با رادیکال‌های آزاد در تنش‌های مرتبط با فلزات سنگین هستند (Posmyk et al., 2009) که در تأیید پژوهش حاضر است. فلاؤنوئیدها و ترکیب‌های فنلی متابولیت‌های ثانویه بوده و دارای نقش محافظتی و آنتی‌اکسیدانی هستند. Skorzynska-Polit et al., (2004; 2007) همچنین گزارش شده که در گیاهان کاشته شده تحت غلظت‌های بالای فلزات سنگین فلاؤنوئیدها، آنتوسبیانین‌ها، ترکیب‌های فنلی و حتی کاروتونوئیدها فعال شده و از گیاه محافظت می‌کنند (Posmyk et al., 2007). فلاؤنوئیدهای دلیل نقش آنتی‌اکسیدانی خود به‌طور مستقیم با وارد شدن در واکنش‌های احیایی و به‌طور غیرمستقیم به وسیله کلاته کردن آهن در زنجیره انتقال الکترون مانع تنش اکسیداتیو می‌شوند و مانند بسیاری دیگر از پلی‌فنل‌ها جمع‌کننده رادیکال‌های آزاد هستند، زیرا به عنوان گروه‌های قوی الکترون‌دهنده و پروتون‌دهنده عمل می‌کنند (Blokhina et al., 2003; Seyoum et al., 2006). این ترکیبات با مکانیسم‌های متعددی مانند پاکروبی رادیکال‌های آزاد، دادن هیدروژن، خاموش کردن اکسیژن یکتایی، کلات کردن یون‌های فلزی و یا در همکاری با پراکسیدازها در جمع-

مطالعات نشان داده است که تنش ناشی از کادمیوم باعث افزایش قندهای محلول در ۲ واریته از برج شده است، به طوری که تنش ناشی از کادمیوم با تاثیر بر فعالیت آنزیم‌های اینورتاز و سوکروز سنتراز باعث افزایش قندهای محلول شده است (Aldoobie et al., 2013). افزایش محتوای قندهای محلول تحت آلودگی کادمیوم در جو نیز گزارش شده است (Gubrelay et al., 2013).

در این تحقیق محتوای قندهای محلول در نمونه های تحت تیمار نسبت به نمونه شاهد افزایش معنی‌دار را نشان داد. افزایش میزان قندهای محلول در گیاه گندم تحت اثر کلرید جیوه نیز گزارش شده است (Raeesi sadati et al., 2015).

افزایش میزان قندهای محلول در تیمار با کلرید کادمیوم در کلزا، گلرنگ و عدس توسط سایر محققین نیز گزارش شده است (Nooraniazad et al., 2011). با کاهش انتقال آب به برگ‌ها و به دنبال تجمع جیوه در سلول‌ها، میزان قندهای محلول در گیاه افزایش می‌یابد. این ویژگی یک روش سازگاری گیاه برای حفظ شرایط اسمزی است. علاوه بر این افزایش قندهای محلول به گیاه کمک می‌کند تا بتواند ذخیره کربوهیدراتی خود را برای حفظ متابولیسم پایه در شرایط تنش در حد مطلوب نگه دارد.

نتیجه گیری

با توجه به نتایج به دست آمده در این بررسی، می‌توان اظهار داشت که توتون در مواجهه با تنش فلز سنگین جیوه سعی در حفظ فشار اسمزی خود دارد و این کار را با افزایش اسмолیت‌هایی از جمله پرولین و قندهای محلول انجام می‌دهد که به حفظ فشار و توربوزانس سلول‌های گیاه کمک می‌کنند. از آنجایی که تنش فلز سنگین باعث ایجاد تنش اکسایشی در توتون شده و تولید ROS‌ها را افزایش داده است، و از آنجایی که دفاع آنتی‌اسیدانی کارآمد، گام اساسی در تحمل به تنش فلز سنگین محسوب می‌شود، توتون با افزایش آنتی‌اسیدان‌های غیرآنزیمی از جمله افزایش ترکیبات فنلی همانند فنول، آنتوسیانین و فلاونوئید و فلاونول و افزایش پرولین و افزایش سطوح MDA و قندهای محلول به تنش فلز سنگین پاسخ داده است. کاهش کلروفیل برگ‌ها و افزایش ترکیبات فنلی نشان‌دهنده سمیت شدید جیوه و فعل شدن دفاع آنتی‌اسیدانی در مورد گیاه مورد مطالعه است.

سپاسگزاری

نگارندگان این مقاله از مرکز دخانیات استان گیلان بابت تامین بذور توتون و از دانشگاه گیلان حمایت مالی این مطالعه قدردانی می‌نمایند.

فلاؤنول در توتون تحت تنش خشکی قبل از گزارش شده است (Norastehnia et al., 2016; Norastehnia et al., 2016; Norastehnia et al., 2017). با استناد به پژوهش‌های یاد شده و مطالعه حاضر احتمالاً می‌توان ساخته شدن فلاونول را واکنش مناسب توتون به تنش فلز سنگین جیوه، جهت حصول مقاومت بیشتر نسبت داد. فعالیت چنین سیستم‌هایی در گیاه ضروری به نظر می‌رسد، زیرا شرایط بهینه را جهت رشد گیاه فراهم می‌آورد. علاوه بر این نشان داده شده است که فلاونول‌ها در کنار توکوفولوها، آسکوربیک اسید، گلوتاتیون و کاروتینوئیدها می‌توانند به خوبی نقش دفاع آنتی‌اسیدان غیرآنزیمی را بازی کنند. حضور حلقه‌های آروماتیک و اجزا متنوع دیگر در ساختارشان از آنها جاروکنندگان را دیکالی مناسبی ساخته است.

پرولین اسیدآمینه‌ای است که افزایش غلظت آن فراوان‌ترین و عمومی‌ترین پاسخی است که به محض ایجاد تنش مشاهده می‌شود (Suriyan & Chalermpol, 2009). پرولین به عنوان یک محافظ مولکولی قادر به محافظت از پروتئین‌ها و افزایش فعالیت‌های مختلف آنزیمی است. نتایج تحقیق افزایش معنی‌داری پرولین را نشان داد. نتایج حاضر با نتایج حاصل از اثر کلرید جیوه بر میزان پرولین در گندم مطابقت دارد (Raeesi Sadati et al., 2015).

شکستن سریع پرولین بعد از پایان یافتن شرایط تنش، ممکن است خود تأمین کننده عوامل مورد نیاز برای فسفوریلاسیون اسیداتیو ATP و ترمیم صدمات ناشی از تنش باشد. این یافته‌ها باعث روشن‌تر شدن هر چه بیشتر تنظیم بیوسنتر پرولین در گیاهان و نقش آن در کاهش تنش اکسایشی القاء شده است و علاوه بر آن تأییدی بر نقش پذیرفته شده آن به عنوان اسмолیت می‌باشد (Hong et al., 2003).

گیاهان برای مقابله با تنش اسمزی ناشی از فلزات سنگین، مکانیسم‌های سازشی مختلفی را به کار می‌گیرند. گیاهان دارای مقاومت بالا از قبیل ذرت، تعادل اسمزی خود را با افزایش بیوسنتر متابولیت‌های محافظ مانند پرولین، بتائین و کربوهیدرات‌های احیا کننده حفظ می‌نمایند. متابولیت‌های قندی با تبدیل پلی‌ساقاریدها و اولیگوساکاریدها به یکدیگر، تعادل اسمزی را کنترل می‌نمایند. افزایش میزان کربوهیدرات‌های نشان‌دهنده کاهش میزان آب در سلول‌ها است و کاهش میزان آب نیز عامل مهمی در کاهش رشد گیاه بهشمار می‌رود (Noorani Azad & Kafilzadeh, 2011). افزایش قندهای محلول در اغلب شرایط تنش‌زا به عنوان یک مکانیسم تحمل در برابر تنش است و در واقع باعث تنظیم پتانسیل آب سلول در بخش سیتوزول برای مقابله با غلظت بالای یون‌های جذب شده و تجمع یافته در واکوئل می‌گردد (Dubey et al., 1999; Hurry et al., 1995; Verma et al., 2001).

REFERENCES

- Abioye, O.P., Ijah, U.J.J. & Aransiola, S.A.** 2013. Remediation mechanisms of tropical plants for lead-contaminated environment. *Soil Biology* 35: 59-77.
- Aggarwal, A., Sharma, I., Tripathi, B.N., Munjal, A.K., Baunthiyal, M. & Sharma, V.** 2011. Photosynthesis: Overviews on Recent Progress & Future Perspective 16: 229-236
- Ali, A., Deng, X., Hu, X., Gill, R.A., Ali, S., Wang, S. & Zhou, W.** 2015. Deteriorative effects of cadmium stress on antioxidant system and cellular structure in germinating seeds of (*Brassica napus* L.). *Journal of Agricultural Science and Technology* 17: 63-74.
- Asada, K.** 1984. Chloroplast: formation of active oxygen and its scavenging. *Method in Enzymology* 105: 422-429.
- Bates, L.S.** 1973. Rapid determination of free proline for water stress studies. *Plant Soil* 39: 205-207.
- Blokhina, O., Virolainen, E. & Fagerstedt, K.V.** 2003. Antioxidants, oxidative damage and oxygen deprivation stress. *Annals of Botany* 91: 179-194.
- Cargnelutti, D., Tabaldi, L.A., Spanevello, R.M., Jucoski, G.O. & Battisti, V.** 2006. Mercury toxicity induces oxidative stress in growing cucumber seedlings. *Chemosphere* 65: 999-1006.
- Chu, Y.H., Chang, C.L. & Hsu, H.F.** 2000. Flavonoid contents of several vegetable and their antioxidant activity. *Journal of Agriculture and Food Science* 80: 561-566.
- Dai L. P, Xiong Z.T, Huang Y. & Li, M.J.** 2006. Cadmium-induced changes in pigments, total phenolics, and phenylalanine ammonia-lyase activity in fronds of *Azolla imbricata*. *Environmental toxicology* 21: 505-512.
- Dubey RS, Singh AK.** 1999. Salinity induces accumulation of soluble sugars and alters the activity of sugar metabolizing enzymes in rice plants. *Biologia Plantarum* 2: 233-239.
- Fahmideh, L. & Mahmoodi, N.** 2017. Survey on enzymatic activity and secondary metabolites of cumin (*Cuminum cyminum*) under manganese stress. *Journal of Crop Science Research in Arid Regions* 1: 191-203. (In Persian).
- Gao, T., Jelle, B.P., Sandborg, L.I.C. & Gustavsen, A.** 2013. Monodisperse hollow silica nanospheres for nano insulation materials: synthesis, characterization and life cycle assessment. *ACS Applied Materials & Interfaces* 5: 761-767.
- Ghasemzadeh, A., Jaafar, H Z. E. & Rahmat, A.** 2010. Antioxidant activities, total phenolics and flavonoids content in two varieties of Malaysia young ginger (*Zingiber officinale* Roscoe). *Molecules* 15: 4324-4333.
- Ghorbanli, M. & Kiapour, A.** 2012. Copper-induced changes on pigments and activity of non enzymatic and enzymatic systems in (*Portulaca oleracea* L.). *Iranian Journal of Medicinal and Aromatic Plants* 28: 235-247. (In Persian).
- Gubrelay, U., Agnihotri, R.K., Singh, G. & Kaurl, R.** 2013. Effect of heavy metal cd on some physiological and biochemical parameters of Barley (*Hordeum vulgare* L.). *International Journal of Agriculture and Crop Sciences* 5: 2743- 2751.
- Han, F.X., Banin, A., monts, D.L. & Triplett, G.B.** 2002. Industrial age anthropogenic inputs of heavy metals into the pedosphere. *Naturwissenschaften* 89: 497-504.
- Han, F.X., Monts, D.L., Waggoner, A.C. & Pledinec J.M.** 2006. Binding, distribution, and plant uptake of Hg in a soil from oak Ridge, Tennessee, USA. *Science of the Total Environment* 368: 753-768.
- Hawrylak, B., Matraszek, R. & Szymanska, M.** 2007. Response of lettuce (*Lactuca sativa* L.) to selenium in nutrient solution contaminated with nickel. *Vegetable Crops Research Bulletin* 67: 63-70.
- Heath, R.L. and Packer, L.** 1969. Photoperoxidation in isolated chloroplast kinetics and stoichiometry of fatty acid peroxidation. *Archives of Biochemistry and Biophysics* 125: 189-198.
- Hernandez, I., Alegre, L. & Munne-Bosch, S.** 2004. Drought-induced changes in flavonoids and other low molecular weight antioxidants in *Cistus clusii* grown under Mediterranean field conditions. *Tree Physiology* 24: 1303-1311.
- Hong, S.W., Kwon, S.J., Sohn, S.I., Kim, N.S. & Kim, J.C.** 2003. Characterization of embryogenesis related Pbmby genes during in vitro differentiation of *Pimpinella brachycarpa*. *Korean Journal of Genetics* 25: 293-300.
- Hurry, V.M., Strand, A., Tobiaeson, M. & Gardestrom, P.** 1995. Cold hardening of spring and winter-wheat and rape results in differential effects on growth, carbon metabolism, and carbohydrate content. *Plant physiology* 109: 697-706.
- Irigoyen, J.J., Emerich, D.W. & Sanchez-Diaz, M.** 1992. Water stress induced changes in concentrations of proline and total soluble sugars in nodulated alfalfa (*Medicago sativa*) plants. *Plant Physiology* 84: 55-60.
- Izbiaska, K., Arasimowicz-Jelonek, M., and Deckert, J.** 2014. Phenylpropanoid pathway metabolites promote tolerance response of lupine roots to lead stress. *Ecotoxicology and Environmental Safety* 110: 61-67.
- Jaakola, L., Maatta, K., Pirttila, A.M., Torronen, R., Karenlampi, S. & Hohtola, A.** 2002. Expression of genes involved in anthocyanin biosynthesis in relation to anthocyanin proanthocyanidin, and flavonol levels during bilberry fruit development. *Plant Physiology* 130: 729-739.
- Jaleel, C.A., Gopi, B., Sankar, P., Manivannan, A., Kishorekumar, R.S. & Panneers, L.** 2007. Studies on germination, seedling vigour, lipid peroxidation and proline metabolism in *Catharanthus roseus* seedling under salt stress. *South African Journal of Botany* 73: 190-195.
- John, R., Ahmad, P., Gadgil, K. & Sharma S.** 2008. Effect of cadmium and lead on growth, biochemical parameters and uptake in (*Lemna polyrrhiza* L.). *Plant, Soil and Environment* 54: 262-270.
- John, R., Ahmad, P., Gadgil, K., and Sharma, S.** 2009. Heavy metal toxicity: effect on plant growth, biochemical parameters metal accumulation by

- Brassica juncea L. International Journal of Plant Production 3: 65-76.
- Katsuhara, M., Otsuka, T. & Ezaki, B.** 2005. Salt stress-induced lipid peroxidation is reduced by glutathione S-transferase, but this reduction of lipid peroxides is not enough for a recovery of root growth in Arabidopsis. *Plant Sciences* 169: 369-373.
- Khatib M, Rashed Mohasel M, Ganjali, A. and Lahouti M.** 2008. The effects of different nickel concentrations on some morpho-physiological characteristics of parsley (*Petroselinum crispum*). *Iranian Journal of Field Crops Research* 2: 295-302. (In Persian).
- Kocal, N., Sonnewald, U. & Sonnewald, S.** 2008. Cell wall-bound invertase limits sucrose export and is involved in symptom development and inhibition of photosynthesis during compatible interaction between tomato and *Xanthomonas campestris* pv *vesicatoria*. *Plant Physiology* 148: 1523-36.
- Kovacik, J., Backor, M., Strnad, M. & Repcak, M.** 2009. Salicylic acid induced changes to growth and phenolic metabolism in *Matricaria chamomilla* plants. *Plant Cell Report* 28: 135-143.
- Krizek D. T., Britz S. J. & Mirecki R. M.** 1998. Inhibitory effects of ambient levels of solar UV-A and UV-B radiation on growth of cv. New Red Fire lettuce. *Physiologia Plantarum* 103: 1-7.
- Lawlor, D.W. & Cornic, G.** 2002. Photosynthetic carbon assimilation and associated metabolism in relation to water deficits in higher plants. *Plant, Cell and Environment* 25: 275-294.
- Lichtenthaler, H.K.** 1987. Chlorophyll and carotenoids: pigments of photosynthetic biomembranes. *Methods in Enzymology* 148: 350-382.
- Masukasu, H., Karin, O. & Kyoto, H.** 2003. Enhancement of anthocyanin biosynthesis by sugar in radish (*Raphanus sativus*) hypocotyls. *Plant Science* 164: 259-265.
- Mauchamp, A. & Methy, M.** 2004. Submergence-induced damage of photosynthetic apparatus in *Phragmites australis*. *Environmental and Experimental Botany* 51: 227-235.
- Michalak, A.** 2006. Phenolic compounds and their antioxidant activity in plants growing under heavy metal stress. *Polish Journal of Environmental Studies* 15: 523-530.
- Molassiotis, A., Tanoug, G. & Patakas, A.** 2005. Effects of 4- month Fe deficiency exposure on Fe reduction mechanism, photosynthetic gas exchange chlorophyll fluorescence and antioxidant defense in two peach rootstocks differing in Fe deficiency tolerance. *Journal of Plant physiology* 25: 843-860.
- Najafi, S. & Jamei, R.** 2014. Effect of silver nanoparticles and Pb (NO₃)₂ on the yield and chemical composition of mung bean (*Vigna radiata*). *Journal of Stress Physiology & Biochemistry* 10: 316-325.
- Noorani Azad, H. & Kafilzadeh F.** 2011. The effect of cadmium toxicity on growth, soluble sugars, photosynthetic pigments and some of enzymes in safflower (*Carthamus tinctorius* L.). *Iranian Journal of Biology* 24: 858-867. (In Persian).
- Nooraniazad, H. & Hajibagheri, M.** 2010. The study of HgCl₂ toxicity on the growth and some biochemical traits in Dill (*Anethum graveolens* L.) crop. *Journal on Plant Science Researches* 18: 19-27. (In Persian).
- Norastehnia, A. & Yousefzadeh, G.** 2017. Improvement in growth of tobacco (*Nicotiana tabacum* L.) seedling by methyl jasmonate under drought stress Nova Biologica Reperta 2: 260-271. (In Persian).
- Norastehnia, A. & Farjadi, M.** 2016. The effect of the interaction between water stress and potassium nitrate on some of the physiological responses of *Nicotiana tabacum* L. Nova Biologica Reperta 2: 260-271. (In Persian).
- Norastehnia, A. & Valeh, S.** 2016. Changes of some growth factors in tobacco (*Nicotiana tabacum*) under drought stress using potassium nano-chelate. *Iranian Journal of Plant Biology* 8: 95-113. (In Persian).
- Posmyk, M.M., Dobranowska, A. & Janas, K.M.** 2005. Role of anthocyanins in red cabbage seedlings response to copper stress. *Ecological Chemistry and Engineering* 12: 1107-1112.
- Posmyk, M.M., Kontek, R. & Janas, K.M.** 2007. Effect of anthocyanin-rich red cabbage extract on cytological injury induced by copper stress in plant and animal tissues. *Environmental Protection of Natural Sources* 33: 50-56.
- Posmyk, M.M., Kontek, R. & Janas, K.M.** 2009. Antioxidant Enzymes activity and phenolic compounds content in red cabbage seedlings exposed to copper stress. *Ecotoxicology and Environmental safety* 72: 596-602.
- Prasad, M.N.V., Malec, P., Waloszek, A., Bojko, M. & Strzalka, K.** 2001. Physiological responses of *Lemna trisulca* L. (duckweed) to cadmium and copper bioaccumulation. *Plant Science* 161: 881-889.
- Raeesi Sadati, S.Y. & Jahanbakhsh Godekahriz, S.** 2015. The effect of heavy metals on soluble sugars content, total protein and activity of antioxidant enzymes in Wheat. *Research in Crop Ecosystems* 1: 117-128. (In Persian).
- Sakihama, Y., Cohen, M.F., Grace, S.C. & Yamasaki, H.** 2002. Plant phenolics antioxidant and pro oxidant activity: Phenolics-induced oxidative damage mediated by metal in plants. *Toxicology* 177: 67-80.
- Seyoum, A., Asres, K. & El-Fiky, F.K.** 2006. Structure radical scavenging activity relationships of flavonoid. *Phytochemistry* 67: 2058-2070.
- Skorzynska-Polit, E., Drazkiewicz, M., Wianowska, D., Maksymiec, W., Dawidowicz, A.L. & Tukiendorf, A.** 2004. The influence of heavy metal stress on the level of some flavonols in the primary leaves of *Phaseolus coccineus*. *Acta Physiologiae Plantarum* 26: 247-253.
- Sofo, A., Dichio, B., Xiloyannis, C. & Masia, A.** 2004. Effects of different irradiance levels on some antioxidant enzymes and on malondialdehyde content during rewetting in olive tree. *Plant Sciences* 166: 293-302.
- Sudhakar, C., Lakshmi, A. & Giridarakumar, S.** 2001. Changes in the antioxidant enzyme efficacy in two high yielding genotypes of mulberry (*Morus alba* L.) under NaCl salinity. *Plant Science* 161: 613-619.

- Suriyan, Ch. & Chalermpol, K.** 2009. Proline accumulation, photosynthetic abilities and growth characters of sugarcane (*Saccharum officinarum* L.) plantlets in response to iso-osmotic salt and water-deficit stress. Agricultural Sciences in China 8: 51-58.
- Sytar, O., Kumar, A., Latowski, D., Kuczynska, P., Strzaka, K. & Prasad, M.N.V.** 2013. Heavy metal-induced oxidative damage, defense reactions, and detoxification mechanisms in plants. *Acta Physiologiae Plantarum* 35: 985-999.
- Theriappan, P., Gupta, A.K. & Dhasarathan, P.** 2011. Accumulation of proline under salinity and heavymetal stress in cauliflower seedlings. *Journal of Applied Sciences and Environmental Management* 15: 251-255.
- Venskutonis, P.R., Miliauskas, G. & Van Beek, T.A.** 2004. Screening of radical scavenging activity of so medicinal and aromatic plant extracts. *Food Chemistry* 85: 231-237.
- Verma S, Dubey RS.** 2001. Effect of cadmium on soluble sugars and enzymes of their metabolism in rice. *Biologia Plantarum* 44: 117-123.
- Wang, P., Zhang, S., Wang, C. & Lu, J.** 2012. Effects of Pb on the oxidative stress and antioxidant response in a Pb bioaccumulator plant *Vallisneria natans*. *Ecotoxicology Environmental Safety* 78: 28-34.
- Winkel-Shirley, B.** 2002. Biosynthesis of flavonoids and effects of stress. *Current Opinion in Plant Biology* 5: 218-223.
- Wo'jcik, M., Skórzyńska-Polit, E. & Tukiendorf, A.** 2006. Organic acids accumulation and antioxidant enzyme activities in *Thlaspi caerulescens* under Zn and Cd stress. *Plant Growth Regulation* 48: 145-155.
- Xiong, H., Duan, C., Xinxiang, A. & Chen, M.** 2013. Response of scutellarin content to heavy metals in *Erigeron breviscapus*. *International Journal of Environmental Science and Development* 4: 277-281.
- Yamasaki, H.** 1997. A function of color. *Trends in Plant Science* 2: 7-8.
- Yordanova, R. Y., Christov, K. N. & Popova, L. P.** 2003. Antioxidative enzymes in barley plants subjected to soil flooding. *Environmental and Experimental Botany* 5: 93-101.
- Zare Dehabadi, S. & Asrar, Z.** 2009. Effect of excess zinc on the concentration of some mineral element and antioxidant responses of spearmint (*Mentha spicata* L.) *Iranian Journal of Medicinal and Aromatic Plants* 24: 530-540. (In Persian).
- Zhang, X.X., Fan, X.M., Li, C.J. & Nan, Z.B.** 2010. Effects of cadmium stress on seed germination, seedling growth and antioxidative enzymes in *Achnatherum inebrians* plants infected with *Neotyphodium endophyte*. *Plant Growth Regulation* 60: 91-97.
- Zhao, J., Davis, L.C., Verpoorte, R.** 2005. Elicitor signal transduction leading to production of plant secondary metabolites. *Biotechnology Advance* 23: 283- 333.

How to cite this article:

Farjadi, M. & Norastehnia, A. 2021. The effects of heavy metal mercury on some of the physiological responses in (*Nicotiana tabacum* L.). *Nova Biologica Reperta* 8: 118-129. (In Persian).

فرجادی، م. و نورسته‌نیا، ا. ۱۴۰۰. اثرات فلز سنگین جیوه بر برخی پاسخ‌های فیزیولوژیکی توتون. یافته‌های نوین در علوم زیستی ۸: ۱۱۸-۱۲۹.